



ترکیب مدل جریان داخلی انژکتور با مدل ماکریتم آنتروپی به منظور پیش‌بینی توزیع قطر قطرات پاشش

حدیثه کریماei¹, سید مصطفی حسینعلی‌پور^{2*}, احسان موحدنژاد³

۱- دانشآموخته دکتری، مهندسی مکانیک، دانشگاه علم و صنعت ایران، تهران

۲- دانشیار، مهندسی مکانیک، دانشگاه علم و صنعت ایران، تهران

۳- دانشآموخته دکتری، مهندسی مکانیک، دانشگاه تربیت مدرس، تهران

*تهران، صندوق پستی 16846، alipour@iust.ac.ir

چکیده

پیش‌بینی توزیع قطر قطرات اسپری به پارامترهای مختلفی چون خصوصیات فیزیکی، سرعت سیال و محیط گازی اطراف و هندسه داخلی انژکتور بستگی دارد. مرحله تشکیل قطرات دارای تنوع فراوان از نظر قطر و سرعت قطرات می‌باشد و با یک دیدگاه آماری قابل پیش‌بینی است. اصل ماکریتم آنتروپی، یکی از متداول‌ترین و بهترین روش‌هایی است که در کنار معادلات بقاء برای پیش‌بینی توزیع سایز قطرات اسپری استفاده شده است. بدلیل اشکالاتی که در این مدل وجود دارد نتایج حاصل از پیش‌بینی این مدل با نتایج تجربی به خوبی مطابقت ندارند. از این رو در این مقاله، از یک دیدگاه متفاوت برای بهبود نتایج مدل ماکریتم آنتروپی استفاده شده است. بدین ترتیب که اصلاح مدل ماکریتم آنتروپی به وسیله ترکیب این مدل با زیرمدل دینامیک سیالات محاسباتی صورت گرفته است. به کمک زیر مدل دینامیک سیالات محاسباتی و حل عددی جریان داخلی انژکتور، عبارت چشممه انرژی با تخمین انرژی چنشی با دقت بیشتری برآورد شده است و در مدل ماکریتم آنتروپی استفاده شده است. در واقع با استفاده از این زیرمدل در مدل ماکریتم آنتروپی، دقت پیش‌بینی مشخصه‌های اسپری بهبود داده شده است. همچنین نیاز مدل ماکریتم آنتروپی به داده‌های تجربی ورودی نیز کاهش داده است. به کمک این مدل ترکیبی، به نوعی اثر بالادرست نشان داده است.

اطلاعات مقاله

مقاله پژوهشی کامل

دریافت: ۰۷ دی ۱۳۹۵

پذیرش: ۱۸ بهمن ۱۳۹۵

ارائه در سایت: ۰۹ اسفند ۱۳۹۵

کلید واژگان:

مدل ماکریتم آنتروپی

توزیع قطر قطرات

جریان داخلی انژکتور

دیدگاه آماری

عبارت چشممه انرژی

Coupling of internal flow analysis of an injector and maximum entropy model to predict droplet diameter distribution

Hadiseh Karimaei¹, Seyed Mostafa Hosseinalipour^{1*}, Ehsan Movahednejad²

۱- Mechanical Engineering Faculty, Iran University of Science and Technology, Tehran, Iran

۲- Engineering Faculty, Tarbiat Modares University, Tehran, Iran

* P.O.B. 16846, Tehran, Iran, alipour@iust.ac.ir

ARTICLE INFORMATION

Original Research Paper

Received 27 December 2016

Accepted 06 February 2017

Available Online 27 February 2017

Keywords:

Maximum entropy principle
droplet diameter distribution
internal flow analysis
statistical approach
energy source term

ABSTRACT

Prediction of spray droplet diameter distribution depends on the various parameters such as physical properties, fluid velocity, and discharge environment and injector geometry. The stage of forming droplets confers a great variety of size and therefore will be predictable with a statistical approach. The maximum entropy principle is one of the best and most popular ways to predict the spray droplet size distribution along with the conservation equations. Due to some drawbacks in this model, the predicted results do not match well with the experimental data. It is suggested the available energy source in the MEP model equation be improved by numerical solution of flow inside the injector based on the CFD technique. This will enhance the calculation accuracy of the turbulent kinetic energy of the output spray. In fact, by using this sub-model in the maximum entropy model, the prediction accuracy of the spray characteristics is improved. Also, the requirement of the maximum entropy model to the experimental data as inputs has been reduced. By the present coupled model, the effect of spray upstream on the droplet size distribution can be considered with good accuracy. The results show a close agreement with the available experimental data.

به درون محفظه چرخش افشارانک، باعث ایجاد چرخش در آن می‌گردد که در

نتیجه یک افشارانه^۱ به صورت لایه نازک سیال که به صورت یک صفحه

مخروطی شکل توانایی پخش می‌شود تولید می‌گردد [۱].

۱- مقدمه
فرآیند قطره افشارانی^۱ را می‌توان فرآیندی که در آن حجمی از مایع به تعداد

زیاد قطره تبدیل می‌شود تعریف کرد. وارد شدن سیال با سرعت زاویه‌ای بالا

² Spray

¹ Atomization

Please cite this article using:

H. Karimaei, S. M. Hosseinalipour, E. Movahednejad, Coupling of internal flow analysis of an injector and maximum entropy model to predict droplet diameter distribution, *Modares Mechanical Engineering*, Vol. 17, No. 3, pp. 31-36, 2017 (in Persian)

برای ارجاع به این مقاله از عبارت ذیل استفاده نمایید:

H. Karimaei, S. M. Hosseinalipour, E. Movahednejad, Coupling of internal flow analysis of an injector and maximum entropy model to predict droplet diameter distribution, *Modares Mechanical Engineering*, Vol. 17, No. 3, pp. 31-36, 2017 (in Persian)

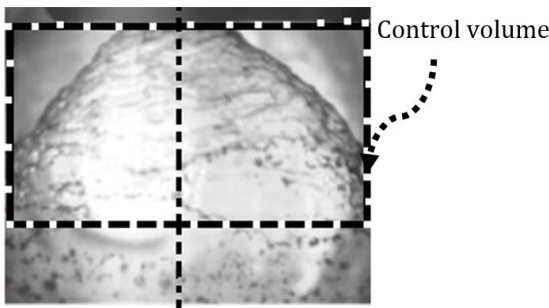


Fig. 1 Control volume of conical spray

شكل ۱ حجم کنترل پاشش مخروطی شکل

تشخيص و طرح مناسب معادلات بقای جرم، اندازه حرکت و انرژی جهت تحلیل سیستم‌های پاشش می‌باشد.

با توجه به معادلات حاکم ماکزیم آنتروپی، معادلات بقای می‌توانند به صورت ترم‌هایی از تابع چگالی احتمال^۳ p_{ij} بیان شوند. j_o احتمال پیدا کردن قطره‌ای با حجم V_i و سرعت u_j را نشان می‌دهد. بنابراین معادلات بقای جرم، اندازه حرکت و انرژی به صورت زیر بیان می‌شوند:

$$\begin{aligned} \sum_i \sum_j p_{ij} V_i \rho \dot{n} &= \dot{m}_o + S_m \\ \sum_i \sum_j p_{ij} V_i \rho \dot{n} u_j &= j_o + S_{mu} \\ \sum_i \sum_j p_{ij} \dot{n} (V_i \rho u_j^2 + 2\sigma A_i) &= \dot{E}_o + S_e \end{aligned} \quad (1)$$

در این معادلات، \dot{n} نرخ تولید قطرات در پاشش، $\dot{m}_o, j_o, \dot{E}_o$ به ترتیب دبی جرم، اندازه حرکت و انرژی است که از خروجی انژکتور وارد حجم کنترل می‌شود و S_e و S_{mu} به ترتیب عبارت‌های چشمۀ برای معادلات جرم، اندازه حرکت و انرژی می‌باشند که برای هر پارامتر اضافی که در این معادلات منظور نشده است، به کار می‌روند. قطرات علاوه بر انرژی چشمۀ دارای یک انرژی سطحی می‌باشند که برای تشکیل قطره لازم است. بدین جهت ترم $\dot{m}_o 2\sigma A_i$ در معادله بقای انرژی منظور شده است. شکل مناسب‌تر این معادلات می‌تواند از نرم‌الیزه کردن می‌باشد که به وسیله $\dot{m}_o, j_o, \dot{E}_o$ به دست آید. با توجه به تعریف‌های سرعت متوسط مومنتمی و حجم متوسط قطرات در پاشش، معادلات بقای جرم، اندازه حرکت و انرژی به صورت زیر درمی‌آیند:

$$\begin{aligned} \sum_i \sum_j p_{ij} \left(\frac{V_i}{V_m} \right) &= 1 + \frac{S_m}{\dot{m}_o} \\ \sum_i \sum_j p_{ij} \left(\frac{V_i}{V_m} \right) \left(\frac{u_j}{\bar{u}_0} \right) &= 1 + \frac{S_{mu}}{j_o} \\ \sum_i \sum_j p_{ij} \left(\frac{V_i}{V_m} \right) \frac{1}{H} \left[\left(\frac{u_j}{\bar{u}_0} \right)^2 + \dot{B} k_i \right] &= 1 + \frac{S_e}{\dot{E}_o} \end{aligned} \quad (2)$$

که در این معادلات، k_i نسبت مساحت به حجم قطرات در اندازه گروه i می‌باشد.

$$\dot{B} = \frac{2\sigma}{\rho U_0^2}, \quad k_i = \frac{V_i}{V_m} \quad (3)$$

و H فاکتور شکل پروفیل سرعت می‌باشد که وقتی پروفیل سرعت خروجی یکنواخت است، مقدار آن برابر ۱ می‌باشد.

حجم، سرعت و عبارت‌های چشمۀ بی‌بعد نیز به صورت زیر تعریف

سه روش در دسترس برای مدل‌سازی توزيع قطرات وجود دارد [2] که عبارتند از روش ماکزیم آنتروپی (ME)، روش تابع احتمال گسسته (DPF) و روش تجربی. روش تجربی برای مدل‌سازی توزيع اندازه قطره، روشی سنتی محسوب می‌شود. در مقابل روش تجربی، یک دیدگاه تحلیلی درباره مسئله مدل‌سازی توزيع قطرات در سه دهه گذشته توسعه داده شده است که به روش ماکزیم آنتروپی (ME) موسوم است. پیشگامان روش ماکزیم آنتروپی، سلسس و بورزتاوسکی [3]، لی و تانکین [4]، تشكیل اسپری را به عنوان فرآیند غیرقطعی که می‌تواند با استفاده از اصل حداقل آنتروپی (شانون) مشروط به یک مجموعه از قیود کلی فیزیکی (مانند بقای جرم اسپری، انرژی سطحی و جنبشی و ...) مدل شود، در نظر گرفتند. این روش مشابه آن چیزی است که در ترمودینامیک آماری استفاده می‌شود. در این روش، اول یک مجموعه قیود فیزیکی مناسب فرموله می‌شود و سپس توزيعی که آنتروپی سیستم را مشروط به آن قیود بیشینه می‌کند، بدست آورده می‌شود.

احمدی^۱ و سلسس [5] اولین کسانی بودند که توزيع قطر قطرات را مستقل از توزيع سرعت پيش‌بيني کردند. آنها از معادلات بقاء جرم، انرژی سطح و مجموع احتمالات استفاده کردند و نتیجه گرفتند که معادلات بقاء مومنتم و انرژی چشمۀ تنها حامل اطلاعات مربوط به سرعت هستند. مشکل بزرگ در ترکیب معادلات در روش سلسس این بود که به ازای قطرات بسیار کوچک و حتی با اندازه صفر نیز توزيع عددی پيش‌بینی می‌کرد ولی روش لی و تانکین به ازای قطرات با قطر بسیار کوچک هیچ توزيعی را پيش‌بینی نمی‌کرد.

از نتایج تحقیقات کوزین^۲ و همکاران [6]، مشخص گردید که دیدگاه لی و تانکین قادر به مدل‌سازی صحیح نیست و ماکزیم آنتروپی را به درستی فرموله نمی‌کند. بنابراین لی و تانکین [7] کار خود را اصلاح کرده و تنها از یک معادله بقاء برای انرژی استفاده کردند. همچنین برای عبارت چشمۀ مومنتم یک مقدار منفی در نظر گرفتند.

در این مقاله از معادلات حاکم ماکزیم آنتروپی که توسط لی و تانکین [7] ارائه شده است، برای استخراج معادلات حاکم و تعیین توزيع اندازه و سرعت قطرات استفاده شده است. بدین منظور، یک حجم کنترل در خروجی انژکتور در نظر گرفته می‌شود. خروجی انژکتور به عنوان ورودی حجم کنترل بوده و حجم کنترل تا محل تشکیل قطرات ادامه می‌یابد. در این مقاله، از یک دیدگاه متفاوت برای بهبود مدل ME استفاده شده است. پیشنهاد شده است که بهبود منبع انرژی موجود در معادلات مدل ME با استفاده از حل عددی جریان داخل انژکتور براساس مدل دینامیک سیالات محاسباتی (CFD) انجام گیرد. استفاده از نتایج این زیرمدل در مدل ME، دقت محاسبات انرژی جنبشی توربولانی اسپری را بهبود خواهد بخشید.

۲- مدل ماکزیم آنتروپی

"شکل ۱" حجم کنترل مربوط به انژکتورهای پاشش مخروطی را نشان می‌دهد. با توجه به شکل، فرض شده است که فعل و انفعالات قطره با فاز پیوسته محیط اطراف، خارج از حجم کنترل صورت می‌گیرد و از تبخیر قطرات و برخورد و به هم پیوستن آنها صرف‌نظر شده است. فرآیند تشکیل قطره در داخل حجم کنترل می‌تواند به صورت انتقال از یک حالت تعادلی به حالت تعادلی دیگر در نظر گرفته شود. بنابراین پایه مدل ریاضی،

³ PDF¹ Ahmadi
² Cousin

می‌شوند:

$$\begin{aligned} \bar{V}_i &= \frac{V_i}{V_m}, \bar{D}_i = \frac{D_i}{D_m}, \bar{u}_j = \frac{u_j}{\bar{u}_0} \\ S_{mu} &= \frac{S_m}{m_o}, \bar{S}_{mu} = \frac{S_{mu}}{\bar{j}_o}, \bar{S}_e = \frac{S_e}{E_o} \end{aligned} \quad (4)$$

علاوه بر سه رابطه بقاء، با توجه به مفهوم احتمال، مجموع احتمالات موجود باید برابر یک باشد:

$$\sum_i \sum_j p_{ij} = 1 \quad (5)$$

بینهایت دسته از توزیع‌های احتمال p_{ij} وجود دارد که معادلات بقاء و مجموع احتمالات را ارضاء نمایند. از این مجموعه جواب، مناسب‌ترین توزیع آن است که آنژروپی شانون^۱ (معادله (6)) را ماکریم کند. شانون [8] شکلی از آنژروپی را بیان کرد که در مسائل فیزیکی و مهندسی کاربرد زیادی دارد.

$$S = -K \sum_i \sum_j p_{ij} \ln p_{ij} \quad (6)$$

با استفاده از روش ضرایب لاغرانژ، توزیع احتمالی که آنژروپی را ماکریم نماید بدست می‌آید:

$$p_{ij} = \exp \left\{ -\lambda_0 - \lambda_1 \bar{V}_i - \lambda_2 \bar{V}_i \bar{u}_j - \lambda_3 \left(\frac{\bar{V}_i \bar{u}_j^2}{H} + \frac{B \bar{k}_l \bar{V}_i}{H} \right) \right\} \quad (7)$$

عموماً در پاشش، اندازه و سرعت قطرات به طور پیوسته تغییر می‌کنند که در این صورت می‌توان میدان حل را به طور یکنواخت گسترش کرده و معادلات را به صورت انتگرالی روی اندازه و سرعت قطره نوشت. پس برای به دست آوردن ضرایب لاغرانژ λ_i باید دستگاه معادلات زیر حل شود:

$$\begin{cases} \int_{\bar{D}_{\min}}^{\bar{D}_{\max}} \int_{\bar{u}_{\min}}^{\bar{u}_{\max}} f \bar{D}^3 d\bar{u} d\bar{D} = 1 + \bar{S}_m \\ \int_{\bar{D}_{\min}}^{\bar{D}_{\max}} \int_{\bar{u}_{\min}}^{\bar{u}_{\max}} f \bar{D}^3 \bar{u} d\bar{u} d\bar{D} = 1 + \bar{S}_{mu} \\ \int_{\bar{D}_{\min}}^{\bar{D}_{\max}} \int_{\bar{u}_{\min}}^{\bar{u}_{\max}} f \left(\frac{\bar{D}^3 \bar{u}^2}{H} + \frac{B \bar{D}^2}{H} \right) d\bar{u} d\bar{D} = 1 + \bar{S}_e \\ \int_{\bar{D}_{\min}}^{\bar{D}_{\max}} \int_{\bar{u}_{\min}}^{\bar{u}_{\max}} f d\bar{u} d\bar{D} = 1 \end{cases} \quad f = 3 \bar{D}^2 \exp \left\{ -\lambda_0 - \lambda_1 \bar{D}^3 - \lambda_2 \bar{D}^3 \bar{u} - \lambda_3 \left(\frac{\bar{D}^3 \bar{u}^2}{H} + \frac{B \bar{D}^2}{H} \right) \right\} \quad (8)$$

برای حل دستگاه معادلات از روش عددی نیوتون-رافسون استفاده شده است و بدین ترتیب توزیع قطرات به دست آورده شده است.

۳- عبارات چشمی^۲

معادلات به کار رفته در روش ME همواره دارای عبارت‌های چشمی است که این عبارت‌ها (جرم، مومنتم و انژری) براساس مفاهیم فیزیکی قبل تعیین می‌باشند. آنچه که کاربرد دقیق این معادلات را برای شرایط مختلف ممکن

¹ Shannon

² Source Terms

نیروی پسا (F) روی لایه سیال در معادله مومنتم به صورت یک عبارت چشمی مومنتوم به صورت زیر در نظر گرفته می‌شود:

$$\bar{S}_{mu} = \frac{F}{J_m} = \frac{F}{\rho_l U_l^2 A_{cross}} \quad (10)$$

که F نیروی درگ روی لایه سیال است. برای محاسبه نیروی درگ قطرات کروی فرض شده‌اند.

در ادامه به بررسی تاثیر عبارات چشمی انژری بر روی توزیع سایز قطرات به دست آمده از مدل ماکریم آنژروپی پرداخته شده است تا مشخص گردد که آیا تصحیح یک عبارت چشمی نظیر چشمی انژری چه اثری در پیش‌بینی توزیع سایز قطرات ایفا می‌کند. از این‌رو تاثیر عبارت چشمی انژری بر توزیع سایز قطرات مطالعه شده است. در "شکل 2" تغییرات توزیع سایز قطرات پاشش بر حسب چشمی انژری نشان داده شده است. نتایج نشان می‌دهند که با افزایش چشمی انژری، توزیع قطر قطرات یکنواخت‌تر می‌گردد.

۴- مدل جریان داخلی انژکتور

مطالعه بر روی یک نوع انژکتور جریان چرخشی با چهار ورودی مماسی مطابق شماتیک "شکل 3" انجام شده است. تحلیل جریان داخلی انژکتور به منظور درنظر گرفتن تاثیر پارامترهای هندسی بر خصوصیات جریان خروجی از انژکتور به کمک نرمافزار فلوئنت انجام گرفته است.

فرضیات این حل عددی به این صورت است که معادلات ناویر استوکس به صورت تراکم‌نابذیر، پایا و سه‌بعدی حل شده و از معادله انژری صرف نظر شده است. از اختلاط هوا در سیال ورودی، صرف نظر شده است و اثرات هوای محلول در مایع ورودی دیده نشده است. سطح مشترک بین یک مایع و یک گاز به اصطلاح سطح آزاد نامیده می‌شود. در پدیده پاشش یک سیال مایع و

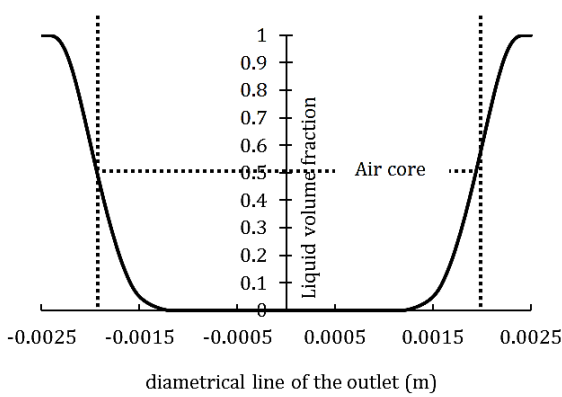


Fig. 4 Liquid volume fraction on diametrical line of the outlet
شکل 4 کسر حجمی سیال مایع روی خط قطری دهانه خروجی

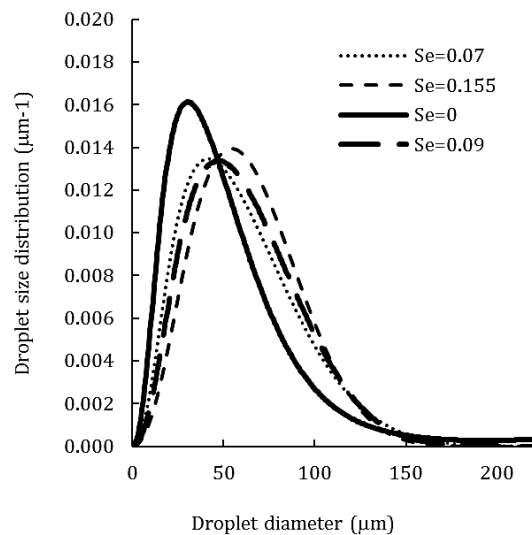


Fig. 2 Changes in droplet size distribution based on energy source term
شکل 2 تغییرات توزیع سایز قطرات پاشش بر حسب چشممه انرژی

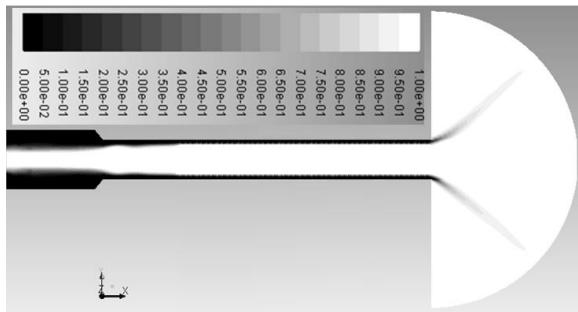


Fig. 5 کانتور کسر حجمی سیال مایع
شکل 5 کانتور کسر حجمی سیال مایع

حفره هوا در میان نازل، لایه مایع چسبیده به دیوارهای نازل و مخروط اسپری در خروجی، کاملاً مشهود است. اثر شدت توربولانس جریان بر سایز قطرات تشکیل شده با انرژی جنبشی توربولانس نمایان می‌شود. مطالعات پیشین نشان داده‌اند شدت توربولانس جریان جت خروجی در تشکیل قطرات نقش دارد. این پارامتر می‌تواند سایز و توزیع سایز قطرات اسپری را تغییر قابل توجهی دهد. به عبارت دیگر، مقدار پارامتر توربولانس که معمولاً با انرژی جنبشی توربولانس جریان مورد ارزیابی قرار می‌گیرد، با تاریخچه جریان درون نازل مرتبط است. در "شکل 6" توزیع انرژی جنبشی توربولانس روی خط قطری دهانه نازل ارائه شده است. برای تخمین انرژی جنبشی توربولانس ورودی به حجم کنترل اسپری، این پارامتر در کل سطح سیال خروجی از نازل مد نظر قرار می‌گیرد. مقدار متوسط توزیع انرژی جنبشی توربولانس جریان در دهانه نازل در قدم بعدی شبیه‌سازی (در MEP مدل برای پیش‌بینیتابع چگالی احتمال حضور قطرات) استفاده می‌گردد به این صورت که محاسبه عبارت چشممه معادله انرژی براساس آن انجام می‌گیرد. مقدار میانگین انرژی جنبشی توربولانس براساس مقدار نرخ جریان جنبشی توربولانس مربوط به آن محاسبه می‌شود.

5- ترکیب مدل ماکریتم آنتروپی با زیر مدل جریان داخلی
هدف از ترکیب مدل‌ها افزایش دقت نتایج، کاهش وابستگی مدل به داده‌های تجربی تا حد امکان، و دخیل نمودن تاثیر بالادست جریان یعنی اثر هندسه نازل، شرایط جریان داخل نازل و مشخصه‌های ناپایداری امواج سطح بر مشخصه‌های پاشش می‌باشد. "شکل 7" فلوچارت ترکیب مدل‌ها را ارائه می‌دهد.

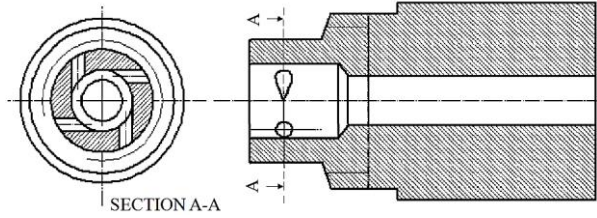


Fig. 3 Schematic of under-study injector
شکل 3 شماتیک انژکتور تحت مطالعه

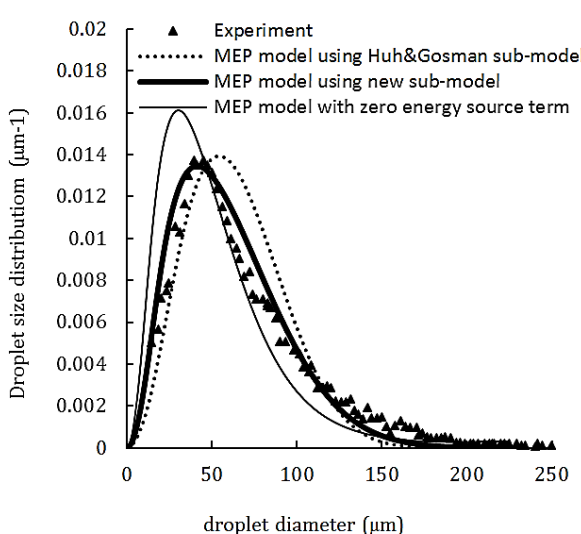
پودرشدن آن، مرز بین جت مایع و هوا یک سطح آزاد است. بنابراین، باید از روش‌های عددی مخصوص بررسی سطح آزاد بین یک مایع و یک گاز استفاده کرد. از آن جا که در انژکتور مورد بررسی این تحقیق جریان دوفازی است، برای تحلیل آن نیاز به استفاده از یک مدل جریان دوفازی هست. این دو فاز سیال مایع و گاز (هوا) هستند. برای حل جریان دو فازی و یافتن سطح آزاد بین دو فاز از روش حجم سیال (VOF) استفاده شده است و به منظور مدل کردن آشفتگی از مدل K-E استفاده شده است.

تحلیل برای هندسه با 850 هزار سلول محاسباتی در حوزه حل صورت گرفته است. شبکه لایه مرزی نیز با هفت لایه اعمال شده است. شرایط مرزی بدین صورت است که در مرز خروجی (محیط اطراف) اختلاف فشار در دو طرف آن صفر منظور شده است یعنی فشار نسبی صفر است. در ورودی‌ها (چهارراهه ورودی) شرط مرزی فشار 3.5 (3.5 بار نسبی) لحاظ شده است [1]. در دیواره‌ها شرط مرزی دیواره با شرط عدم لغزش به کار رفته است. تحلیل به صورت هم‌دما انجام شده است.

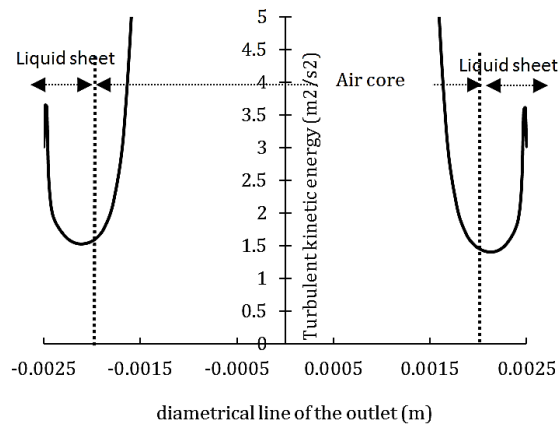
"شکل 4" نمودار کسر حجمی مایع روی خط قطری دهانه خروجی نازل را نشان می‌دهد. با استفاده از "شکل 4" ضخامت لایه مایع خروجی از نازل می‌تواند تخمین زده شود. به منظور تعیین مرز مشترک هوا-مایع، قرارداد می‌شود که سلول‌های با کسر حجمی مایع کمتر از 0.5 پر از هوا در نظر گرفته شوند و سلول‌های با کسر حجمی مایع بیشتر از 0.5 پر از مایع در نظر گرفته شوند. در این شکل، حد فاصل دو خط نقطه‌چین نشان دهنده بخش ستونه هوا و خارج از آن مربوط به لایه سیال در دهانه نازل می‌باشد. در "شکل 5" نیز کانتور کسر حجمی سیال مایع نشان داده شده است. در این کانتور، ناحیه

جنبیتی توربولانس را برابر با استهلاک در دیوارهای نازل تخمین می‌زد. با توجه به نمودار "شکل 8" وقتی که عبارت چشمی انژی در مدل ماکزیمم آنتروپی در نظر گرفته می‌شود، نتایج مدل با داده‌های تجربی بسیار خوب مطابقت دارند. همچنین اینکه توزیع حاصل از مدل تئوری بدون لحاظ نمودن عبارت چشمی انژی، برای قطرات با سایز کوچکتر از 50 میکرون به طور قابل ملاحظه‌ای مقادیر بیشتری را در قیاس با داده‌های تجربی پیش‌بینی می‌کند و برای قطرات با سایز بزرگتر از 50 میکرون مقدار کمتری را در قیاس با داده‌های تجربی مقادیر بیشتری می‌تواند به علت وجود اثرات توربولانس در لایه سیال باشد که در پیش‌بینی مدل در نظر گرفته نشده است. اگر در مدل ماکزیمم آنتروپی، اثرات توربولانس درون جت در نظر گرفته نشود، بنابراین مدل برای قطرات کوچک پیش‌بینی فراوانی بیش از مقدار واقعی خواهد داشت. مطابق با آنچه که سلام [10] گزارش نموده است، ادی‌های توربولانس مقیاس بزرگ به جدا شدن تکه‌های سیال و تشکیل قطرات بزرگتر کمک می‌کنند. گردابهای توربولانس سطحی موردنیاز برای اینژی کافی برای غلبه بر کشش سطحی و تولید انژی سطحی موردنیاز برای تشکیل قطرات بزرگتر هستند. این دلیل می‌تواند عمدترين دلیل برای معرفی یک مدل بهبود یافته به منظور لحاظ نمودن این اثر باشد. حتی برای قطرات با قطر بزرگتر از 50 میکرون، پیش‌بینی مدل تئوری با استفاده از زیرمدل قدیمی فراوانی سایز قطرات را بیش از مقدار واقعی (اندازه‌گیری شده از آزمون تجربی) پیش‌بینی می‌کند درحالی که پیش‌بینی مدل تئوری با استفاده از زیرمدل CFD تطابق بهتری با داده‌های تجربی برای کل طیف سایز قطرات دارد. مقادیر بزرگتر اینژی جنبیتی توربولانس که با روش پیشنهادی هاو و گاسمن محاسبه شده است باشد که البته در روش معروفی شده در این رساله مقدار کمتری نسبت به آن تخمین زده شده است.

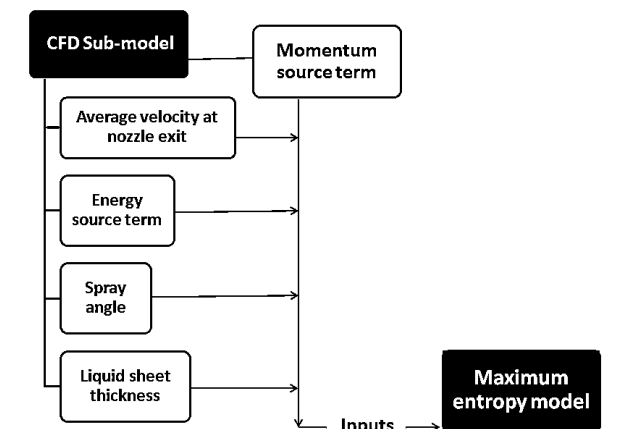
بنابراین می‌توان این نتیجه‌گیری را نمود که مدل ماکزیمم آنتروپی در ترکیب با زیرمدل دینامیک سیالات محاسباتی می‌تواند تخمین خوبی از توزیع سایز قطرات اولیه را به دست دهد. زیرا به کمک این زیر مدل، مقدار اینژی جنبیتی ناشی از جریان متلاطم که در اتمیزه شدن سیال نقش دارد با دقت بالاتری تخمین زده شده و اثر آن در مدل ماکزیمم آنتروپی لحاظ شده



شکل 8 مقایسه توزیع سایز قطرات حاصل از مدل MEP و اندازه‌گیری تجربی [9]



شکل 6 توزیع انژی جنبیتی توربولانس روی خط قطری دهانه نازل



شکل 7 فلوچارت ترکیب مدل‌ها

اعداد بدون بعد و عبارات چشمی محاسبه شده، در جدول 1 آرایه شده‌اند. سرعت میانگین سیال در خروجی نازل نیز به عنوان یک ورودی برای مدل ماکزیمم آنتروپی استفاده می‌گردد که آن هم از مدل CFD حاضر تامین شده است.

"شکل 8" توزیع‌های احتمال سایز قطرات که از مدل بدست آورده شده است و همچنین نتایج اندازه‌گیری تجربی را برای انژکتور را برابر با مطالعه نشان می‌دهد. در این شکل، توزیع‌های سایز حاصل از مدل ماکزیمم آنتروپی با استفاده از زیرمدل قدیمی هاو و گاسمن، مدل ماکزیمم آنتروپی با استفاده از زیرمدل جدید (تحلیل CFD جریان داخل انژکتور) و مدل ماکزیمم آنتروپی بدون لحاظ نمودن عبارت چشمی انژی نشان داده شده‌اند. مشاهده می‌شود که نتایج مدل ماکزیمم آنتروپی با استفاده از زیر مدل CFD مطابقت بهتری با نتایج تجربی موجود در منبع [9] نسبت به نتایج تحقیقات پیشین دارد. لازم به ذکر است که زیر مدل هاو و گاسمن مجموع اینژی

جدول 1 اعداد بدون بعد و عبارات چشمی محاسبه شده

Table 1 Non-dimensional numbers and calculated source terms

عدد وبر	عدد	عبارت چشمی	عبارت چشمی
Rinولدز	بعد مومنتوم	بعد انژی	بعد انژی
We _l	Re	S̄ _{mu}	S̄ _e
932	26000	-0.0029	0.06

قطر قطره (m)	d_{Drop}
قطر قطره i ام (m)	D_i
قطر میانگین جرمی (m)	D_{30}
نرخ جریان انرژی	\dot{E}_o
ضخامت لایه مایع (m)	t
ضریب شکل	H
نرخ جریان مومنتوم	J_o
ثابت بولتزمن	k
طول شکست (m)	L_b
نرخ جریان جرمی	m_o
تعداد کلی قطرات در واحد زمان	\dot{n}
احتمال وقوع حالت i	p_i
عدد رینولدز	Re
چشمۀ جرم بی بعد	S_m
چشمۀ مومنتوم بی بعد	S_{mu}
چشمۀ انرژی	S_e
سرعت میانگین جت در خروجی نازل (ms^{-1})	U_0
سرعت میانگین گاز (ms^{-1})	U_g
سرعت میانگین قطرات (ms^{-1})	U_m
سرعت میانگین لایه مایع (ms^{-1})	U_l
سرعت قطره (ms^{-1})	u
حجم میانگین قطره	V_m
حجم قطره i ام (m^3)	V_i
کشش سطحی (kgs^{-2})	σ
ضرایب لاغرانژ	λ

8- مراجع

- [1] S.M. Hosseinalipour, H. Karimaei, prediction of air core and injection angle of a swirl injector using 3D analysis, *2nd proceeding of gas turbine*, Iran, Tehran, 2012. (in persian)
- [2] S. W. Park, C. S. Lee, Macroscopic structure and atomization characteristics of high-speed diesel spray, *International Journal of Automotive Technology*, Vol. 4, No. 4, pp. 157–164, 2003.
- [3] RW. Sellens, TA. Brzustowski, A prediction of the drop size distribution in a spray from first principles, *Atomization and Spray Technology*, Vol. 1, No.1, pp. 89-102, 1985.
- [4] X. Li, R.S. Tankin, Droplet size distribution: A Deviation of a Nukiyama-Tanasawa Type distribution function, *Combustion Science and Technology*, Vol. 56, pp. 65-76, 1987.
- [5] M. Ahmadi, RW. Sellens, A simplified maximum-entropy-based drop size distribution, *Atomization and Sprays*, Vol. 3, pp. 291-310, 1993.
- [6] J., Yoon S.J. Cousin, C.v, Coupling of classical Linear Theory and Maximum Entropy Fomalism for Prediction of Drop Size Distribution in sprays, *Atomization and Sprays*, Vol. 6, pp. 601-22, 1996.
- [7] X. Li, RS. Tankin, Derivation of droplet size distribution in sprays by using information theory, *Combustion Science and Technology*, Vol. 60, pp. 345-357, 1987.
- [8] L . Bayvel, z. Orzechovski, *liquid atomization*, Second Edition, pp. 85-90, Washington: Taylor&Francis, 1993.
- [9] E. Movahednejad, prediction of droplet size and velocity distribution using MEF and breakup model, Ph.D thesis, Department of Mechanical Engineering, Tarbiat Modares University, Tehran, 2010. (in persian)
- [10] K.A. Sallam, Z. Dai and G.M. Faeth, liquid breakup at the surface of turbulent round liquid jets in still gases, *International Journal of Multiphase Flow*, Vol. 28, pp. 427-449, 2002.

است. این در حالیست که در مدل‌های پیشین چنین تخمینی از انرژی جنبشی توربولانی یا انجام نمی‌شده است و یا پیش‌بینی ضعیفی براساس مدل‌های یک بعدی انجام می‌گرفته است. همچنین نتایج نشان داده‌اند که حضور قطرات کوچک (کوچکتر از 75 میکرون) محتمل‌تر از قطرات بزرگ‌تر است. احتمال حضور قطرات بزرگ‌تر از 180 میکرون از مدل ماکریزم آنتروپی با فراوانی صفر بهدست می‌آید اما داده‌های تجربی احتمال حضور صفر را برای قطرات بزرگ‌تر از 200 میکرون نشان می‌دهد. تفاوت نسبتاً کم بین پیش‌بینی این مدل ترکیبی و داده حاصل از اندازه‌گیری تجربی می‌تواند به علت خطای اندازه‌گیری تجربی و همچنین فرضیات به کار رفته در مدل تئوری باشد. در این بررسی به منظور بررسی اثر این زیر مدل بر روی پیش‌بینی مدل توزیع قطرات، دیگر ورودی‌های این مدل از نتایج تجربی تامین شده است تا صرفاً اثر مدل CFD بررسی شده باشد.

6- نتیجه‌گیری

فرآیند اتمیازاسیون به منظور تخمین توزیع سایز قطرات در ناحیه شکست اولیه با استفاده از اصل ماکریزم آنتروپی (MEP) در کنار معادلات بقاء مدل‌سازی شده است. به دلیل نواقصی که این مدل داشته است تلاش شده است تا حد امکان ورودی‌های این مدل را با اتصال زیرمدل مناسب به آن تامین نمود. برای بهدست آوردن پیش‌بینی بهتر از مدل توزیع قطرات ME یک برآورد صحیح و دقیق از عبارات چشمۀ این مدل (عنی تاثیر نیروهای آبروبدینامیک در سراسر میدان جریان گاز به عنوان عبارت چشمۀ مومنتوم و انرژی جنبشی توربولانی به عنوان یک عبارت چشمۀ انرژی) بسیار ضروری است. این عبارات چشمۀ و سایر ورودی‌های مدل توزیع قطرات، به کمک زیرمدل‌های مناسب تامین شده‌اند. به منظور در گیر نمودن اثرات توربولانس در مدل اتمیازاسیون، عبارت چشمۀ انرژی با استفاده از نتایج شبیه‌سازی جریان داخلی انژکتور تخمین زده است. جریان داخل انژکتور با استفاده از تکنیک CFD براساس روش حجم سیال (VOF) مدل‌سازی شده است و مشخصات لایه مایع در دهانه خروجی انژکتور محاسبه شده است. از اهداف اصلی تحلیل جریان داخلی انژکتور، بهدست آوردن تخمین عبارت چشمۀ انرژی جنبشی توربولانی در خروجی انژکتور به منظور تخمین عبارت چشمۀ انرژی است. مدل ME و زیر مدل CFD به وسیله عبارت چشمۀ انرژی و مومنتوم با یکدیگر پیوند داده شده‌اند. بنابراین مدل پیشنهادی، توانایی لحاظ نمودن اثرات مکانیزم‌هایی چون توربولانس و برهم‌کنش‌های آبروبدینامیکی که درون حجم کنترل اتفاق می‌افتد را به خوبی دارا می‌باشد. در واقع به کمک مدل حاضر، به نوعی اثرات بالادست جریان اسپری و هندسه انژکتور، در پایین دست اسپری در بدست آوردن توزیع قطرات در نظر گرفته شده است. در واقع، نواوری مقاله حاضر، بهبود مدل ماکریزم آنتروپی (MEP) برای بهدست آوردن توزیع قطره و سرعت قطرات اسپری در ترکیب با زیرمدل دینامیک سیالات محاسباتی (CFD) است که برای اولین بار با دیدگاه تحقیق حاضر به منظور مرتبط کردن شرایط بالادست اسپری به پایین دست آن صورت گرفته است.

7- فهرست عالیه

A_{cross}	سطح مقطع جت (m^2)
A	سطح تماس لایه مایع (m^2)
C_f	ضریب درگ
d_{Nozz}	قطر نازل (m)